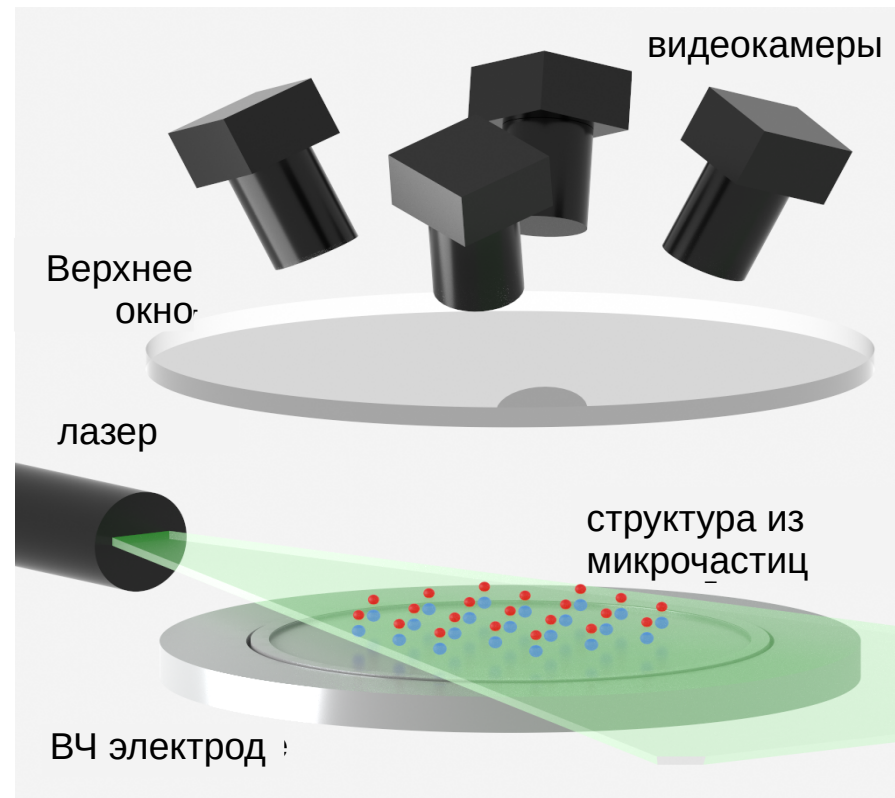


Расщепление мод в двухслойном кристалле в бинарной комплексной плазме

Зобнин А.В., Липаев А.М., Наумкин В.Н.,
Сыроватка Р.А., Усачев А.Д.
ОИВТ РАН

Условия эксперимента

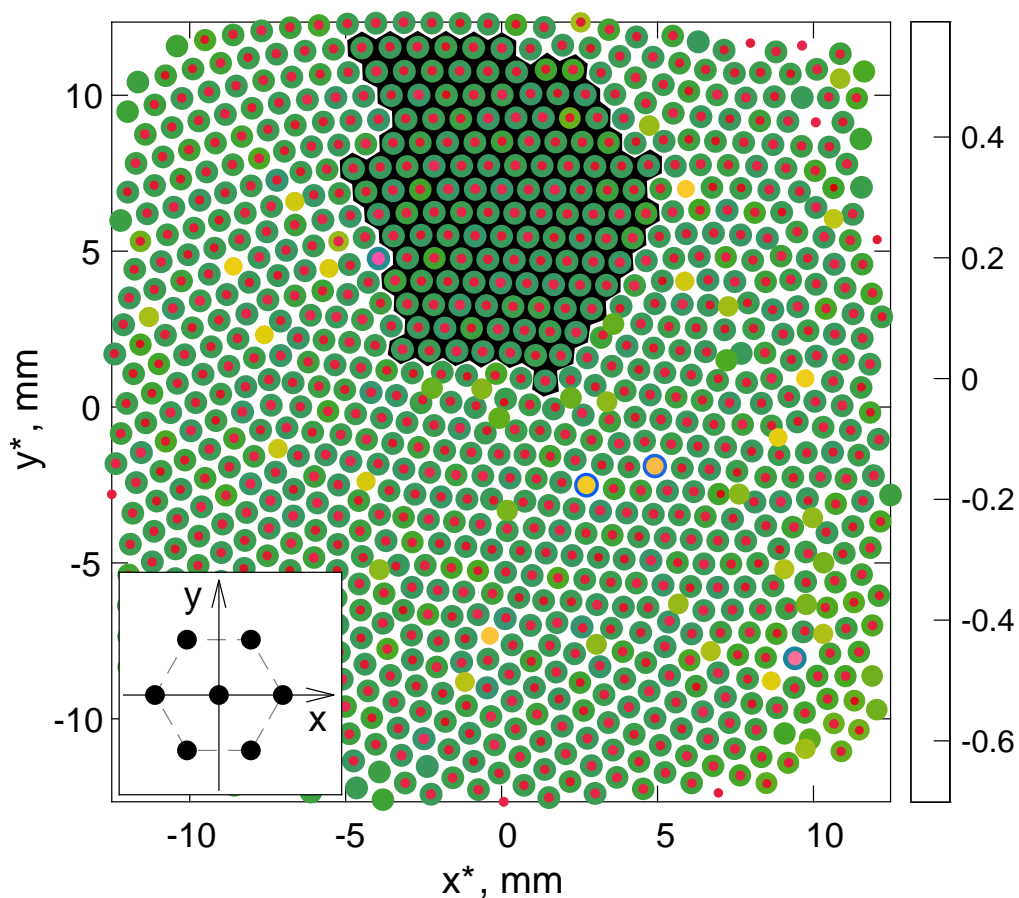
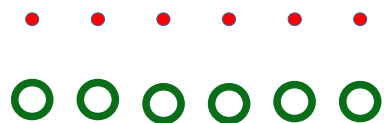


Камера
«Zyflex»

Ar, $P=3$ Па, $V_{p-p}=144$ В, $V_{sh}=49$ В

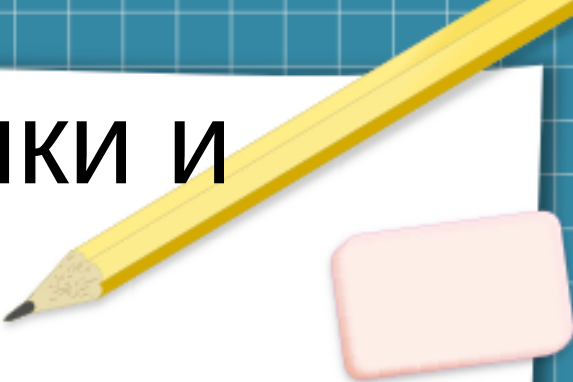
частицы PMF диаметром 7.17 мкм и 10.41 мкм

Структуры микрочастиц



расстояние между частицами в слое 0.87 мм,
расстояние между слоями 1.0 мм

Параметры видеосъёмки и методы обработки



4 камеры по 4 М, 179 кадров в секунду синхронно.

Восстановление трёх координат методом триангуляции с точностью 3.2 мкм по горизонтали и 16 мкм по вертикали.

По смещениям между соседними кадрами определялись скорости частиц, средняя скорость за интервал 20 с вычиталась для каждой частицы.

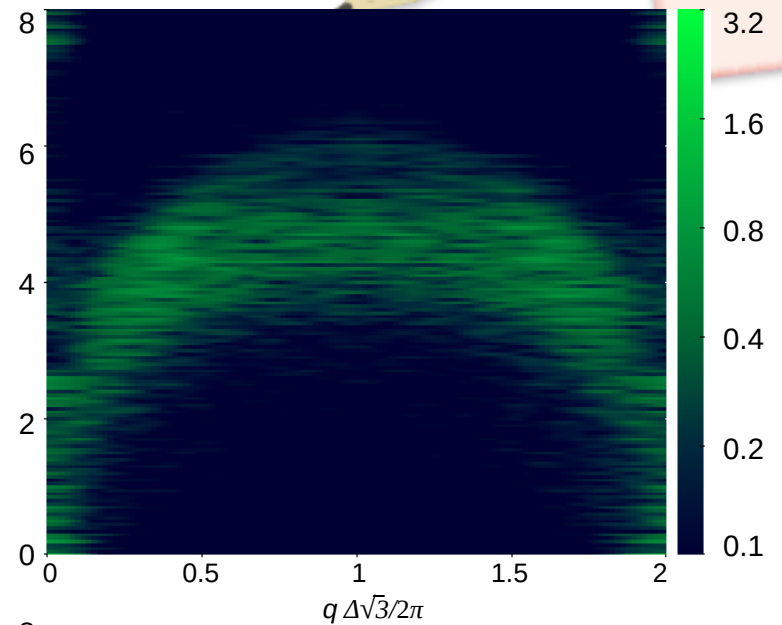
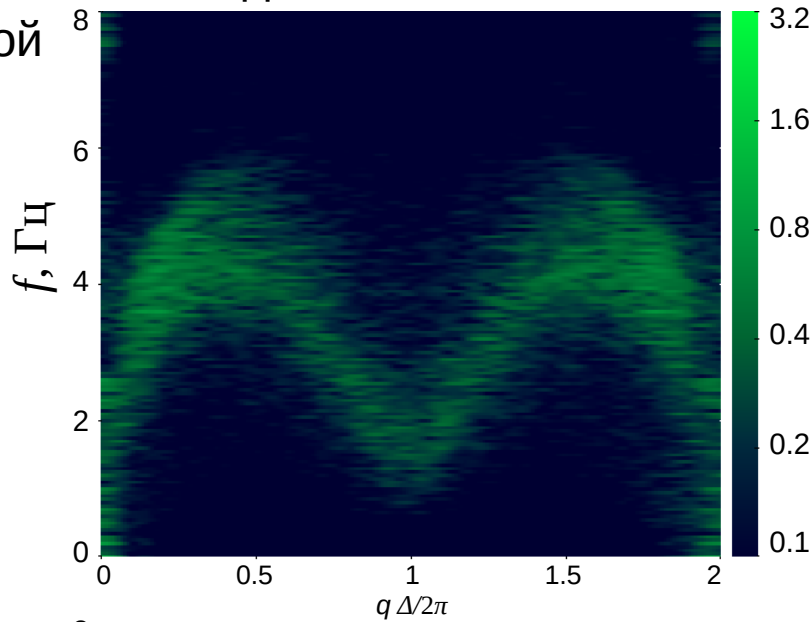
Преобразование Фурье скоростей по времени проводилось для интервала 20 с. Преобразование Фурье по координатам проводилось в пределах выделенного домена вдоль осей x , y и z .

Спектры случайных скоростей в горизонтальной плоскости

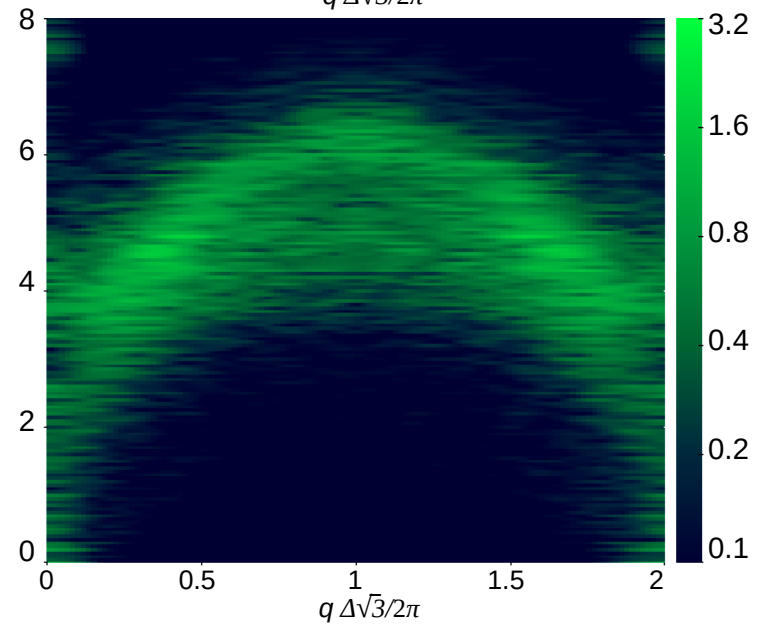
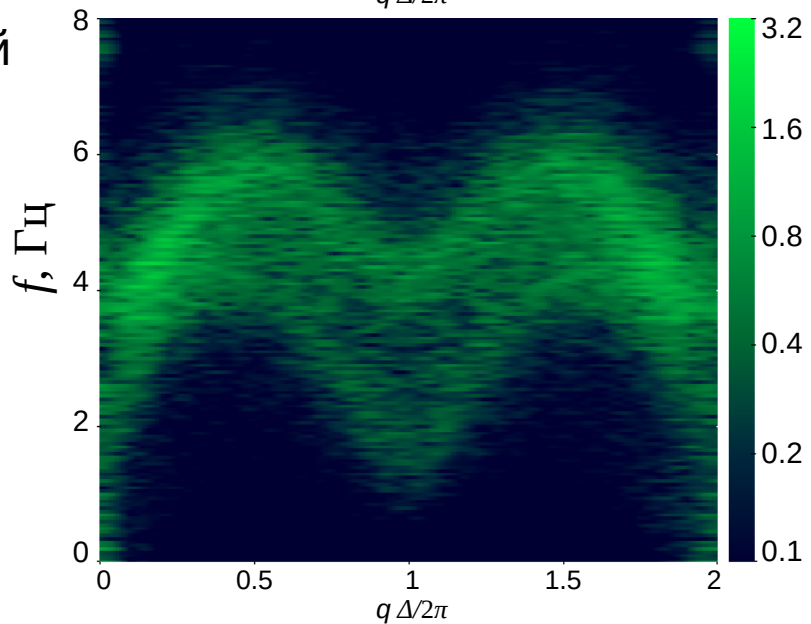
Продольные моды
вдоль оси x

вдоль оси y

Верхний слой
(7.17 мкм)



Нижний слой
(10.41 мкм)



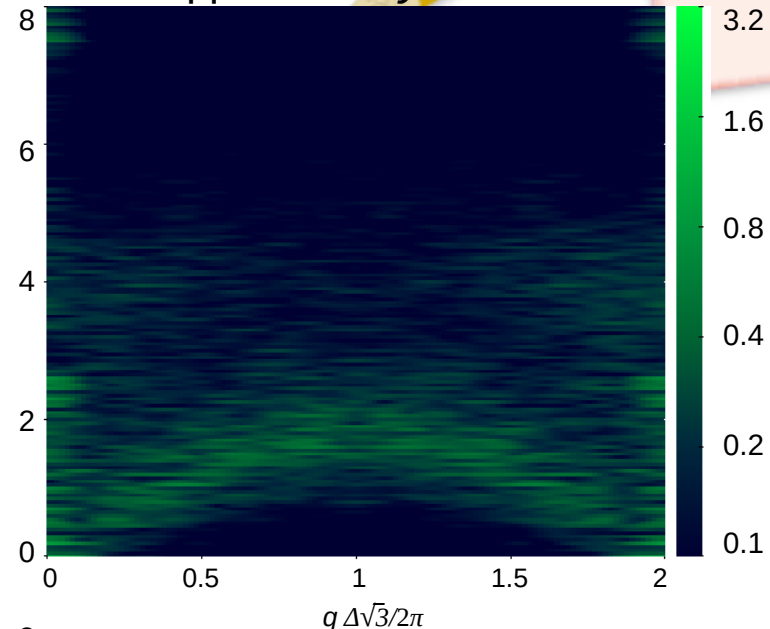
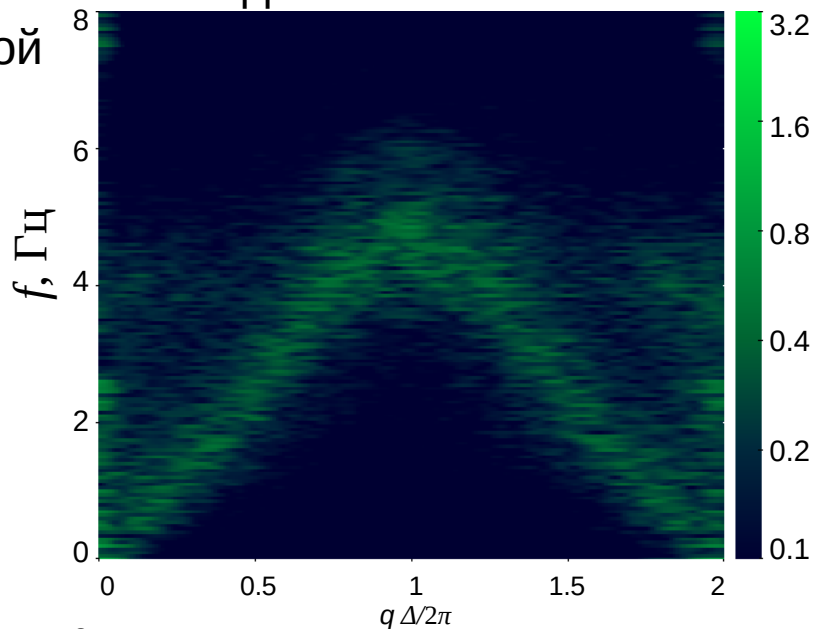
Спектры случайных скоростей в горизонтальной плоскости

Поперечные моды в плоскости структуры

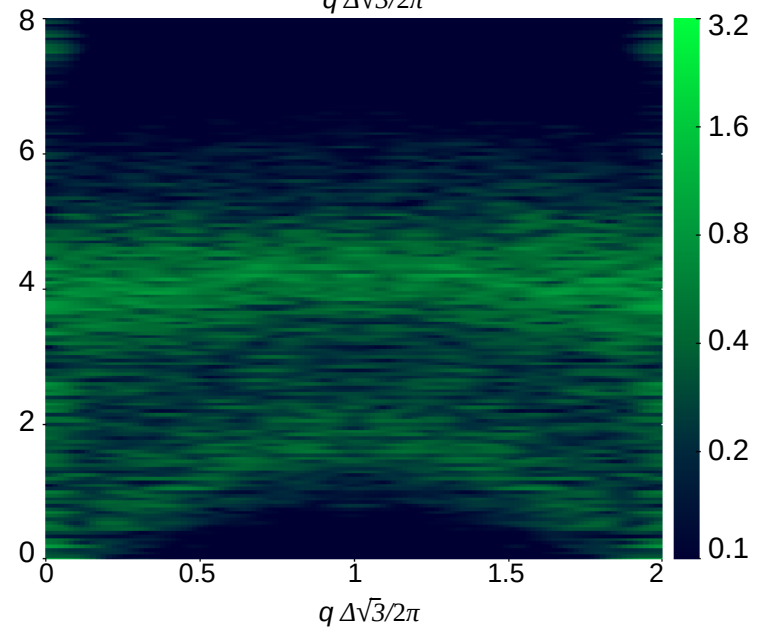
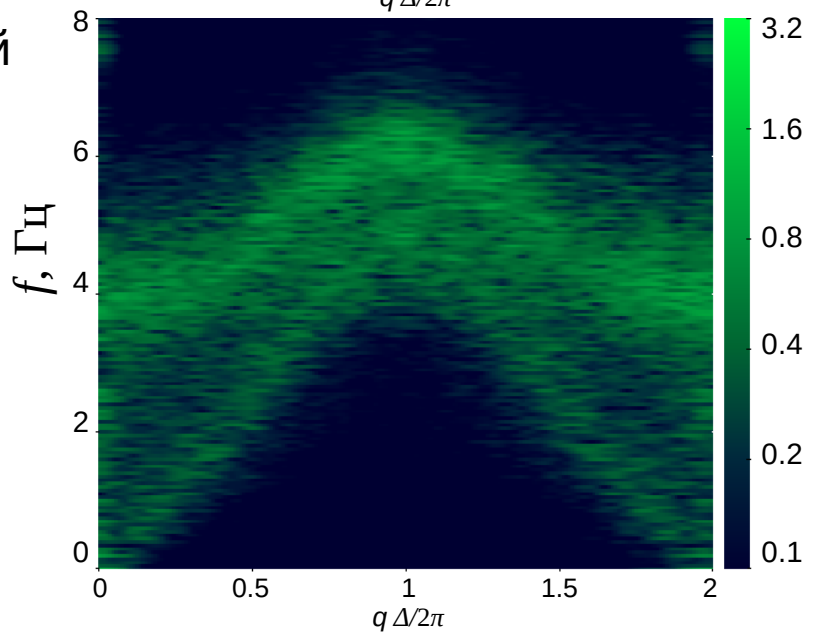
вдоль оси x

вдоль оси y

Верхний слой
(7.17 мкм)



Нижний слой
(10.41 мкм)



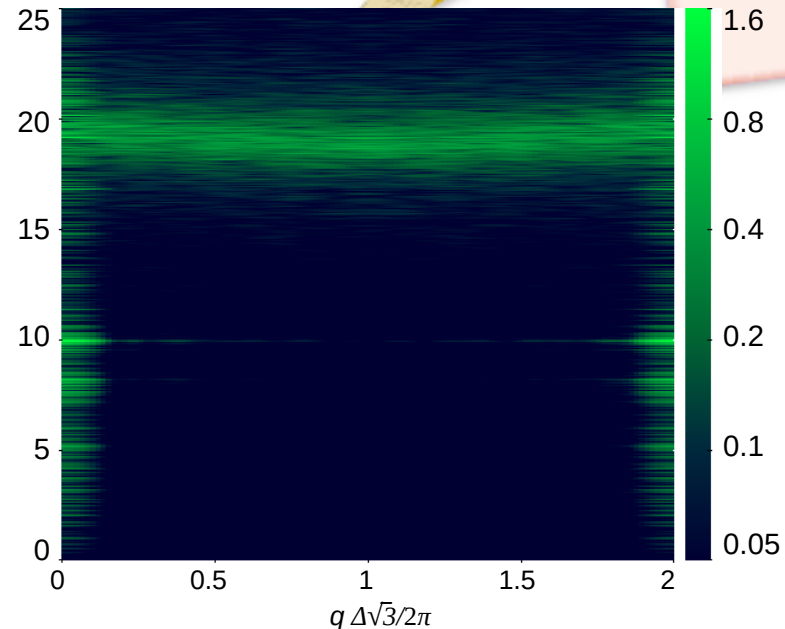
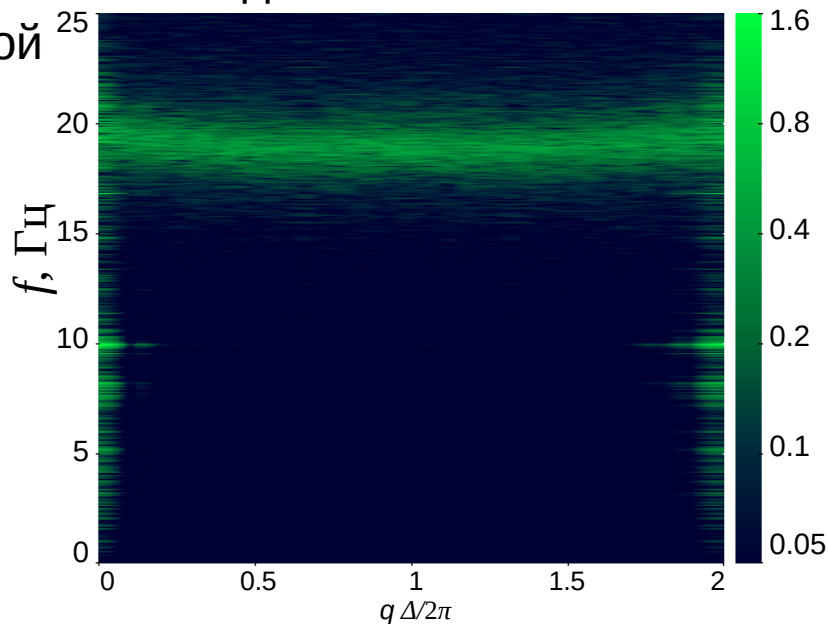
Спектры случайных скоростей в вертикальном направлении

Поперечные моды вертикальных колебаний

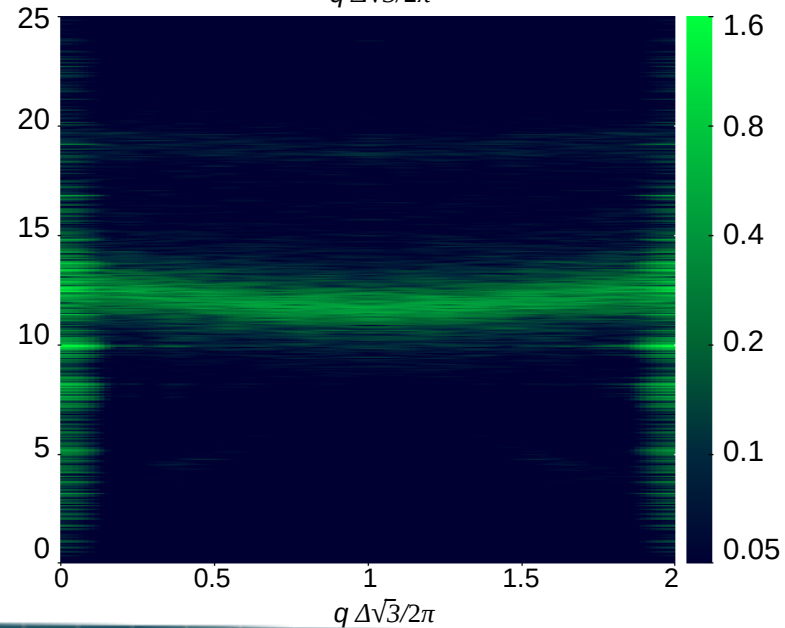
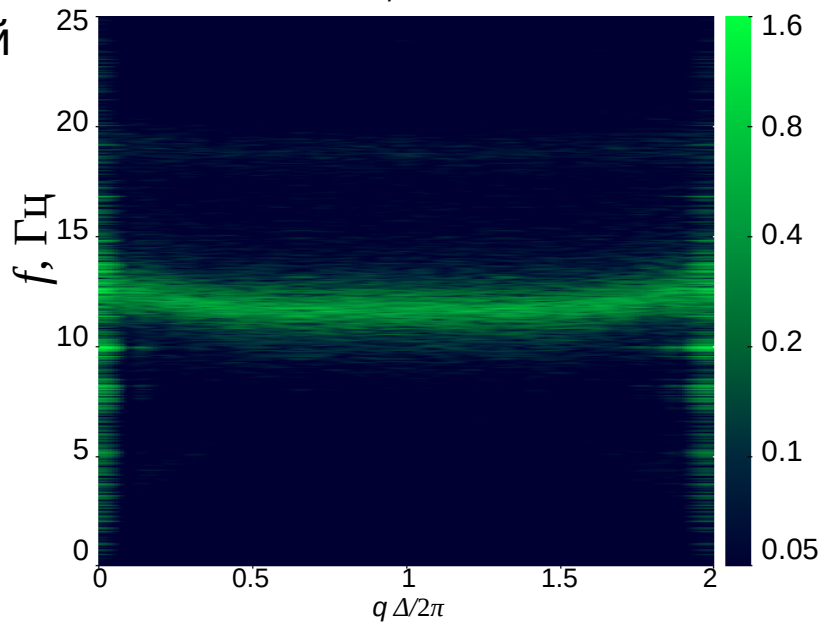
вдоль оси x

вдоль оси y

Верхний слой
(7.17 мкм)



Нижний слой
(10.41 мкм)



Моды колебаний в однослойных структурах

Приближение малых амплитуд и потенциала Юкава

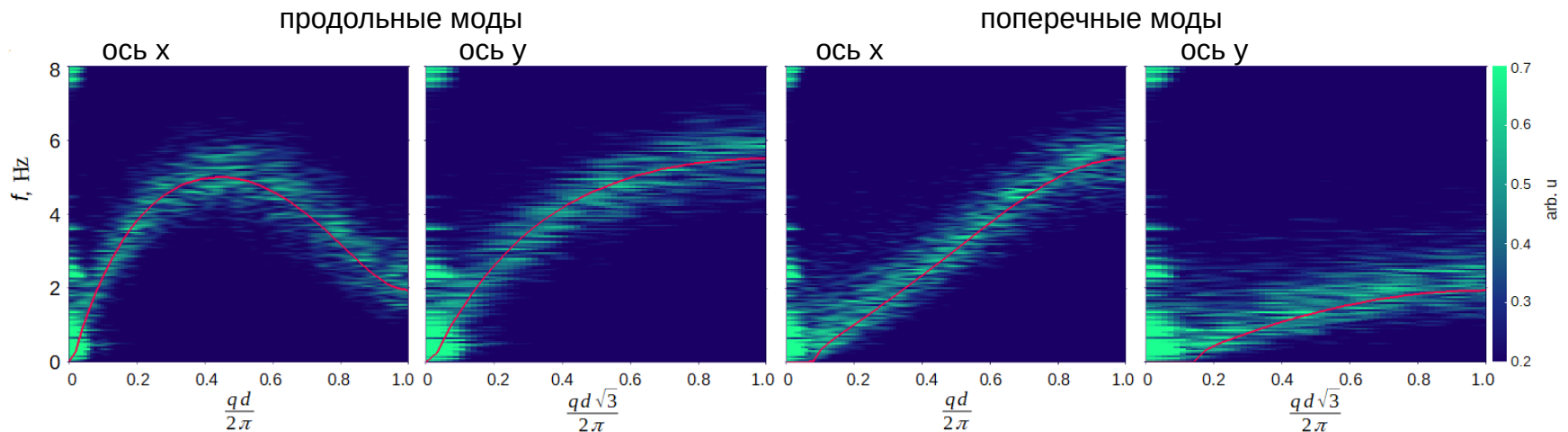
*X. Wang, et. al., Phys. Rev. Lett. 86, 2569 (2001);
G. J. Kalman, et. al., Phys. Rev. E 87, 043103 (2013)*

$$\tilde{\omega}^2(q) = - \sum_{k, k \neq j} \frac{Q^2 K_{jk}}{m} (1 - \cos(q(r_k - r_j)))$$

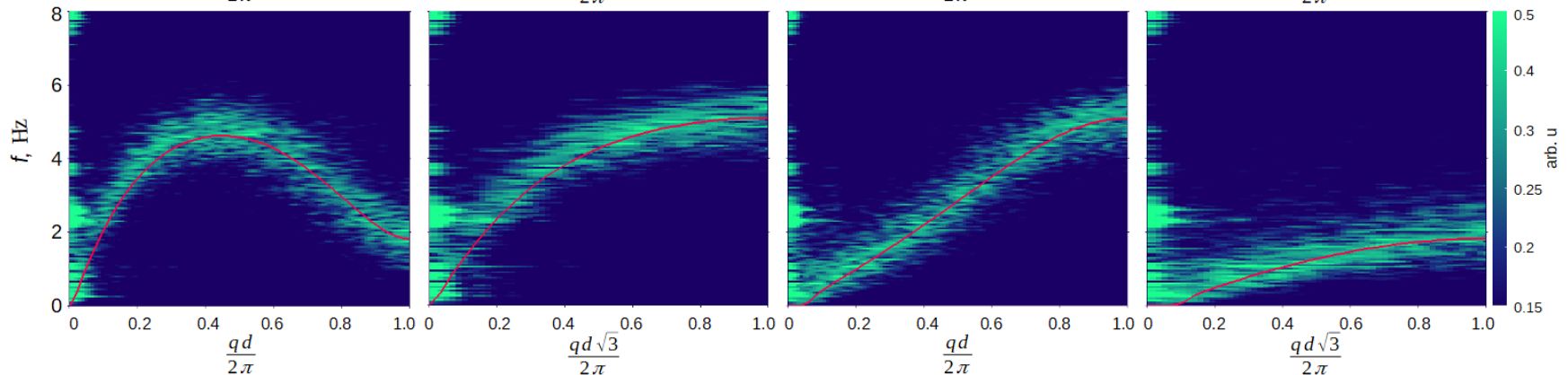
$$\omega = (\tilde{\omega}^2 - v^2/4)^{0.5} - iv/2$$

$$K_{jk} = - \frac{\exp\left(\frac{\sqrt{x_{jk}^2 + y_{jk}^2}}{\lambda_{scr}}\right)}{(x_{jk}^2 + y_{jk}^2)^{5/2}} \left((2x_{jk}^2 - y_{jk}^2) \left(1 + \frac{\sqrt{x_{jk}^2 + y_{jk}^2}}{\lambda_{scr}} \right) + \frac{(x_{jk}^2 + y_{jk}^2)x_{jk}^2}{\lambda_{scr}^2} \right)$$

7.17
МКМ

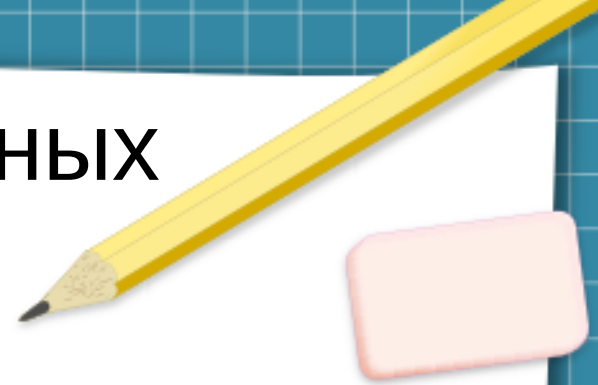


10.41
МКМ

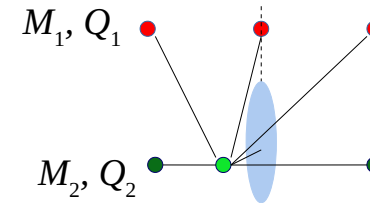


$$Z_{7.2} = 9400 \pm 200, Z_{10.4} = 17900 \pm 400, \lambda_{scr} = 0.8 \pm 0.1 \text{ мм}$$

Моды колебаний в двухслойных структурах



$$\begin{cases} (\omega(\omega + i\nu_1) - \omega_1^2(q) - \mu\eta(0))a_1 + \mu\eta(q)a_2 = 0 \\ (\omega(\omega + i\nu_2) - \omega_2^2(q) - \eta(0)/\mu - \theta_w)a_2 + (\eta(q)/\mu + \theta_w)a_1 = 0 \end{cases}$$



$$\mu = \sqrt{m_2/m_1}$$

$$\omega_1^2(q) = - \sum_{k, k \neq j} \frac{Q_1^2 K_{1jk}}{m_1} (1 - \cos(q(r_k - r_j)))$$

$$\omega_2^2(q) = - \sum_{k, k \neq j} \frac{Q_2^2 K_{1jk}}{m_2} (1 - \cos(q(r_k - r_j)))$$

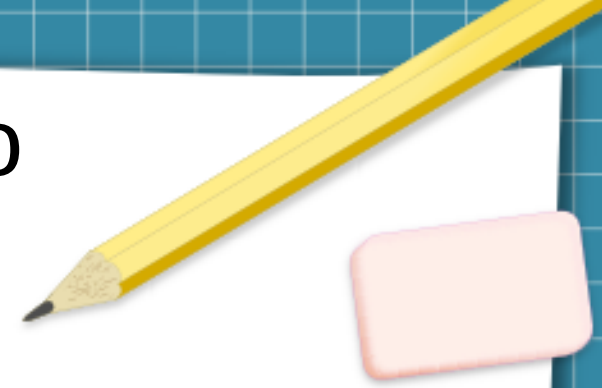
$$K_{1jk} = - \frac{\exp\left(\frac{\sqrt{x_{jk}^2 + y_{jk}^2}}{\lambda_{scr}}\right)}{(x_{jk}^2 + y_{jk}^2)^{5/2}} \left((2x_{jk}^2 - y_{jk}^2) \left(1 + \frac{\sqrt{x_{jk}^2 + y_{jk}^2}}{\lambda_{scr}} \right) + \frac{(x_{jk}^2 + y_{jk}^2)x_{jk}^2}{\lambda_{scr}^2} \right)$$

$$\eta(q) = - \sum_k \frac{Q_1 Q_2 K_{2jk}}{\sqrt{m_1 m_2}} \cos(q(r_k - r_j)) \quad K_{12jk} = - \frac{\exp\left(\frac{\sqrt{x_{jk}^2 + y_{jk}^2 + d^2}}{\lambda}\right)}{(x_{jk}^2 + y_{jk}^2 + d^2)^{5/2}} \left((2x_{jk}^2 - y_{jk}^2 - d^2) \left(1 + \frac{\sqrt{x_{jk}^2 + y_{jk}^2 + d^2}}{\lambda} \right) + \frac{(x_{jk}^2 + y_{jk}^2 + d^2)x_{jk}^2}{\lambda^2} \right)$$

$$(\omega(\omega + i\nu_1) - \omega_1^2(q) - \mu\eta(0))(\omega(\omega + i\nu_2) - \omega_2^2(q) - \eta(0)/\mu - \theta_w) - \eta^2(q) - \mu\eta(q)\theta_w = 0$$

Если для принять $\nu_1 \approx \nu_2 = \nu$, что оправдано при $\omega \gg \nu_1, \nu_2$, то уравнение сводится к квадратному.

Устойчивость двухслойного кристалла



Решения секулярного уравнения после подстановки $X = \omega(\omega + i\nu)$

$$X_{1,2} = 1/2 \left(\omega_1^2(q) + \omega_2^2(q) + (\mu + 1/\mu)\eta(0) + \theta_w \pm \sqrt{(\omega_1^2(q) - \omega_2^2(q) + (\mu - 1/\mu)\eta(0) - \theta_w)^2 + 4\eta(q)(\eta(q) + \mu\theta_w)} \right)$$

Если $X(0) < 0$, то вертикальное упорядочивание частиц неустойчиво.

Такое возможно, если параметр θ_w достаточно мал, так что $\theta_w + (\mu + 1/\mu)\eta(0) < 0$.

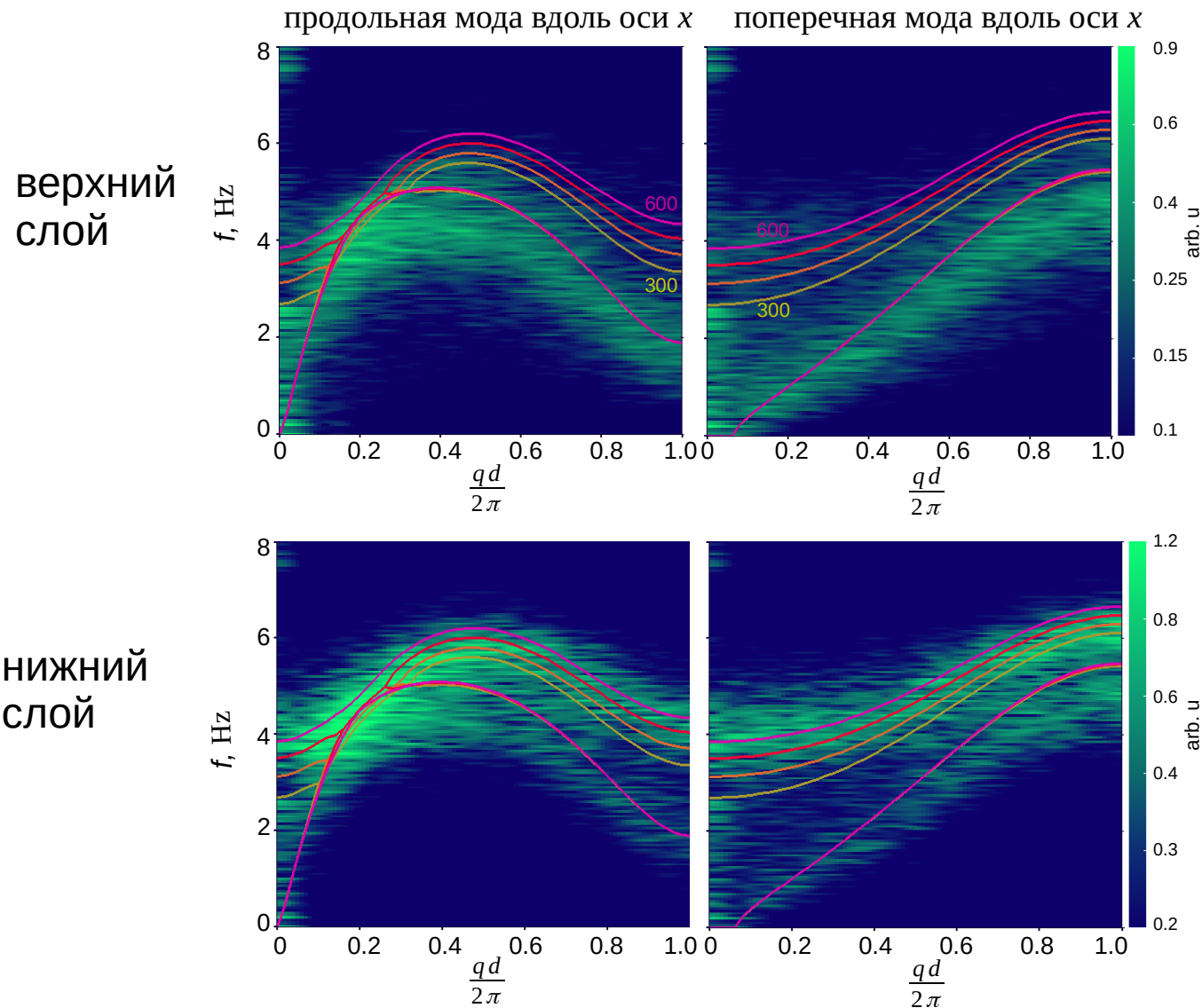
Следуя работе А. Ivlev, R. Kompaneets, *Phys. Rev. E* 95, 053202 (2017) такую неустойчивость называют структурной.

Если при некотором волновом векторе выражение под корнем становится отрицательным, то при достаточно малом трении появляется ветвь в положительном инкременте нарастания. Такую неустойчивость называют динамической. В отличие от структурной неустойчивости, она может быть подавлена достаточно сильным трением о газ. Для развития динамической неустойчивости должно выполняться условие

$$\frac{-4\eta(q)(\eta(q) + \mu\theta_w) - (\omega_1^2(q) - \omega_2^2(q) + (\mu - 1/\mu)\eta(0) - \theta_w)^2}{\omega_1^2(q) + \omega_2^2(q) + (\mu + 1/\mu)\eta(q) + \theta_w} > \nu^2$$

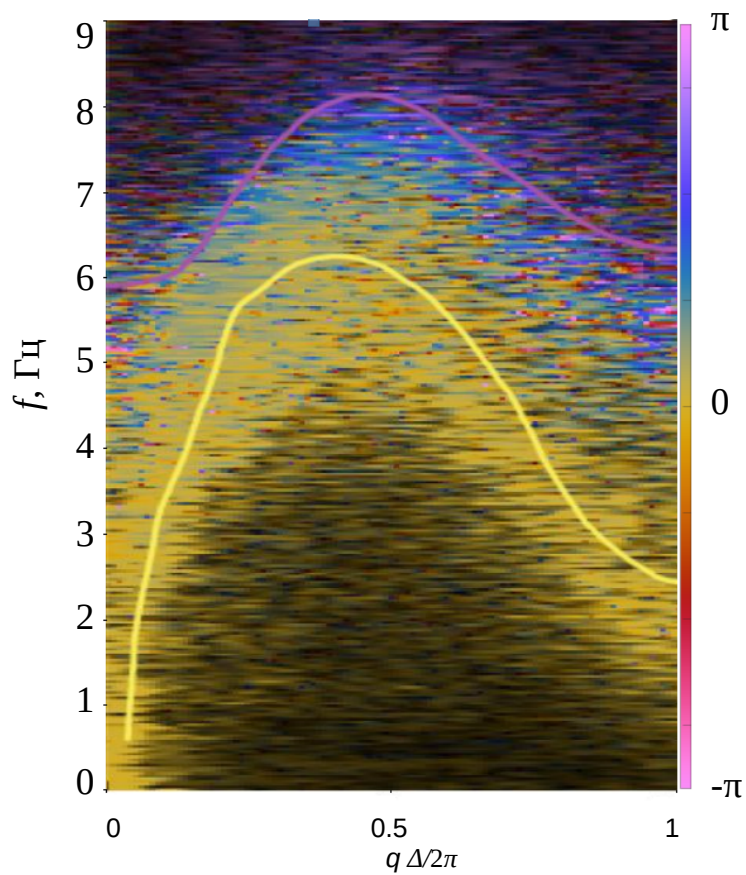
Сравнение с экспериментом

$Z_{7.2} = 9400$; $Z_{10.4} = 17900$; $\lambda_{scr} = 0.8$ мм. Подбор параметра θ_w



Сдвиг фаз между слоями

продольная мода вдоль оси x

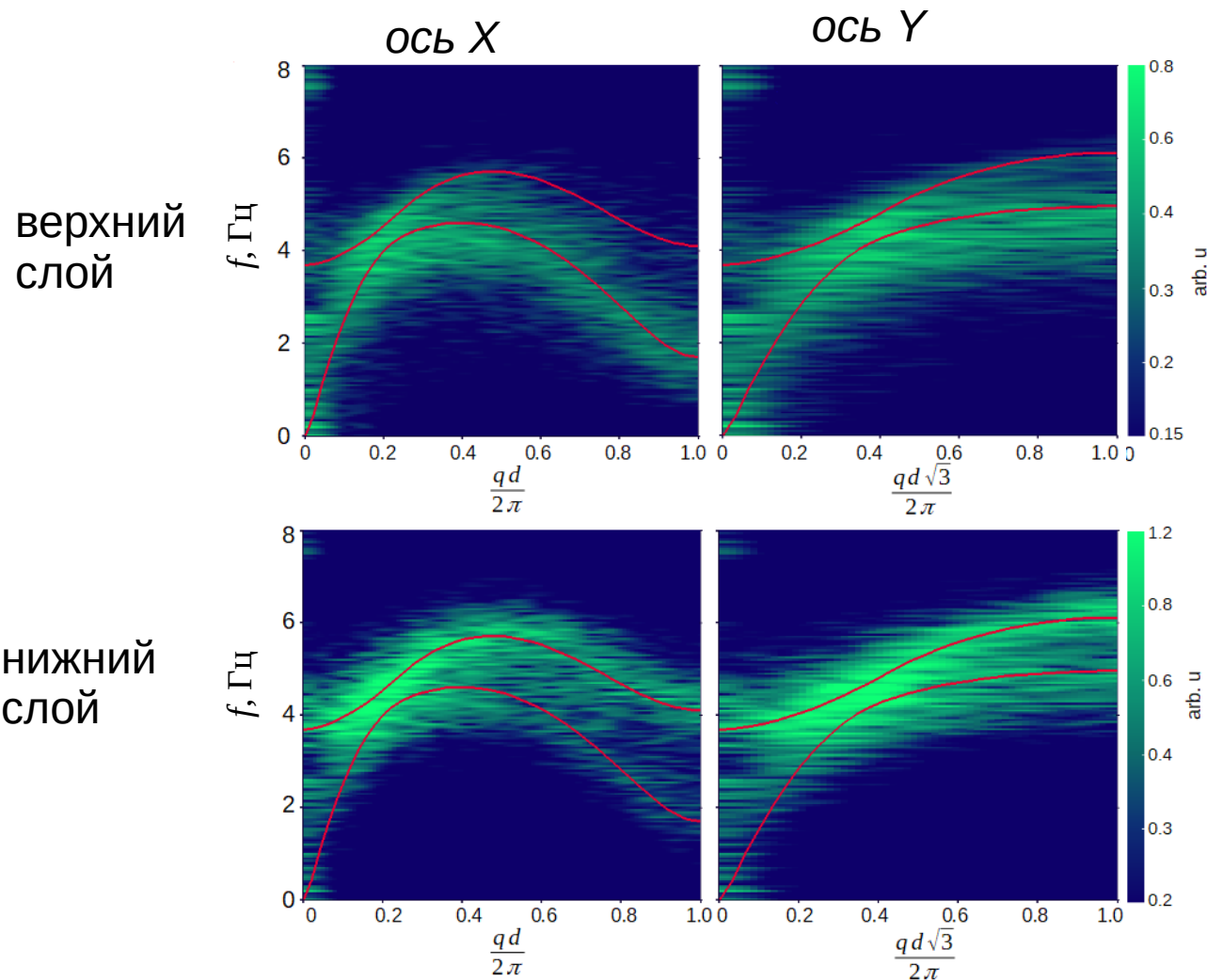


Пересечение ветвей отсутствует

Сравнение с экспериментом

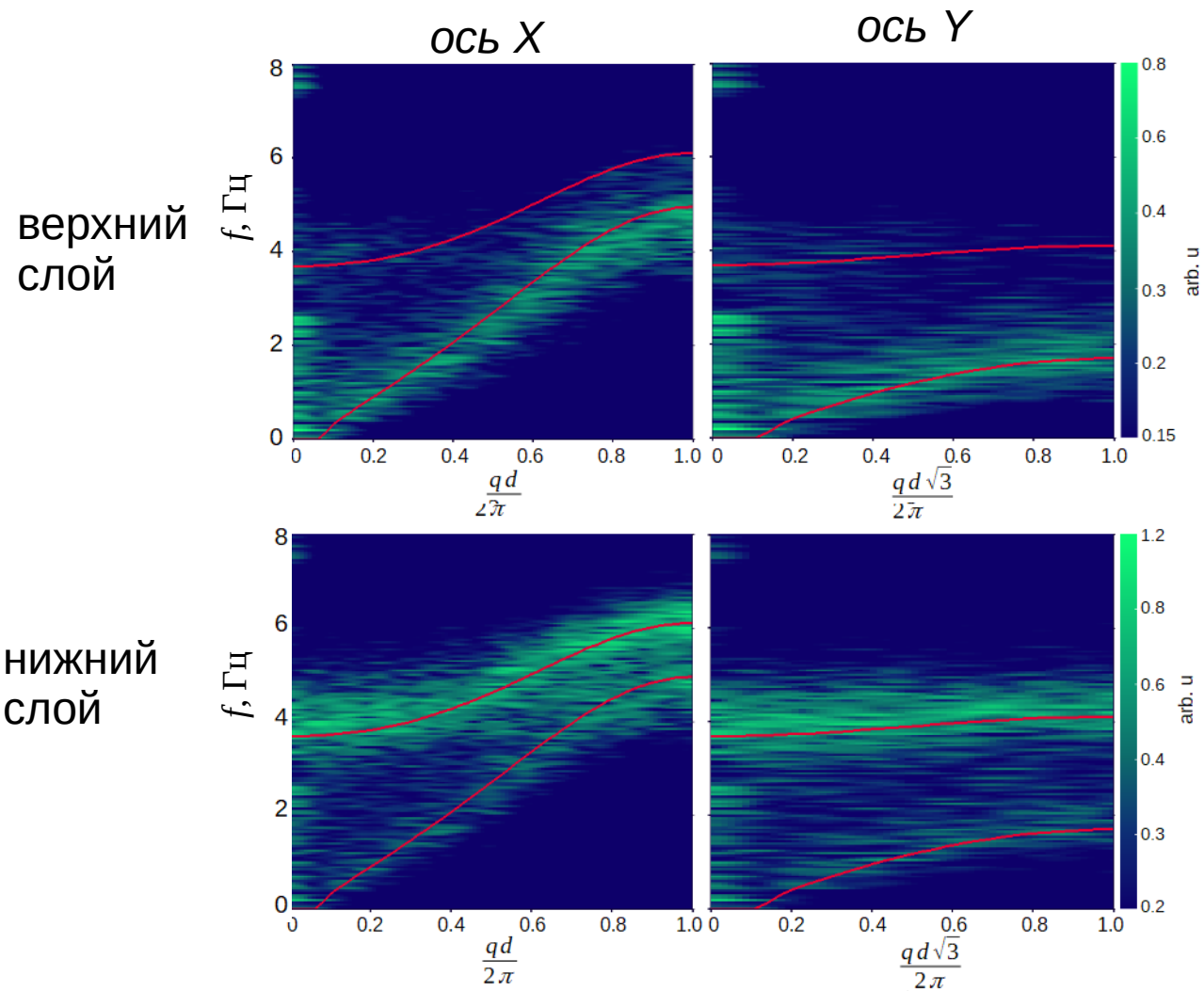
$$Z_{7.2} = 8500; Z_{10.4} = 16100; \theta_w = 550 \text{ c}^{-2}$$

Продольные моды



Сравнение с экспериментом

Поперечные моды



Выводы

- Получена и исследована хорошо упорядоченная квази-двумерная структура из вертикально выстроенных пар микрочастиц двух размеров.
- Относительные интенсивности спектров колебаний верхнего и нижнего слоёв частиц демонстрируют не взаимный характер взаимодействия частиц из разных слоёв.
- Спектры колебаний в плоскости структуры хорошо описываются моделью взаимодействия, включающую взаимодействие частиц с потенциалом Юкава и воздействие «вейка» под верхней частицей на расположенную непосредственно под ней частицу в нижнем слое.
- Определена частота горизонтальных колебаний частиц в «вейке», оказавшаяся 3.7 ± 0.3 Гц.

Работа была поддержана грантом
РНФ № 20-12-00365

